

УДК 532.529.6:537.29

ТЕХНИЧЕСКАЯ ФИЗИКА

Академик АН ЛатвССР И. М. КИРКО, Т. В. КУЗНЕЦОВА,
В. Д. МИХАЙЛОВ, В. Н. НОВИКОВ, Г. Г. ПОДОБЕДОВ, В. П. РАССОХА,
Л. А. РАЧЕВ, П. Ф. ШУЛЬГИН

**НАБЛЮДЕНИЕ ЯВЛЕНИЙ ДИЭЛЕКТРОФОРЕЗА
В УСЛОВИЯХ НЕВЕСОМОСТИ**

В неоднородном электрическом поле на газовый пузырь в диэлектрической жидкости, свободной от объемных зарядов, действует сила диэлектрофореза ⁽¹⁾

$$F = -\frac{1}{2} V k \nabla E^2, \quad (1)$$

где V — объем пузыря, $k = 3(\epsilon - 1)\epsilon_0 / (2\epsilon + 1)$ — постоянная диэлектрофореза, ϵ — относительная диэлектрическая проницаемость жидкости, ϵ_0 — диэлектрическая проницаемость вакуума, E — напряженность электрического поля.

Для измерения силы диэлектрофореза и изучения сепарационных свойств клиновидного конденсатора авторами был проведен эксперимент в условиях практического отсутствия силы тяжести на ИСЗ (уровень перегрузки 10^{-5} , время наблюдения процесса 12 сек.). Экспериментальная установка (рис. 1) состояла из следующих основных узлов: клиновидного конденсатора β с углом раствора электродных пластин $\theta = 5^\circ$, помещенного в прозрачный сосуд I , заполненный чистым жидким диэлектриком с диэлектрической постоянной $\epsilon = 2,08$ и вязкостью $\nu = 2,9 \cdot 10^{-6}$ м²/сек; расширительной емкости 2 ; полупроводникового преобразователя напряжения 8 , обеспечивающего разность потенциалов на электродах $\Phi_0 = 14$ кв; системы подачи газовых пузырьков, включающей баллон с азотом 7 ($p = 2$ ата), дросселирующее устройство 6 , электромагнитный пневмоклапан 5 и капиллярный дозатор 4 . Для увеличения надежности испытывались две идентичные модели.

Градиент квадрата напряженности электрического поля в клиновидном конденсаторе в цилиндрической системе координат без учета краевых эффектов равен

$$\nabla E^2 = -\frac{2\Phi_0^2}{\Phi_0^2} \frac{\mathbf{r}}{r^2}, \quad (2)$$

где \mathbf{r} — радиус-вектор точки.

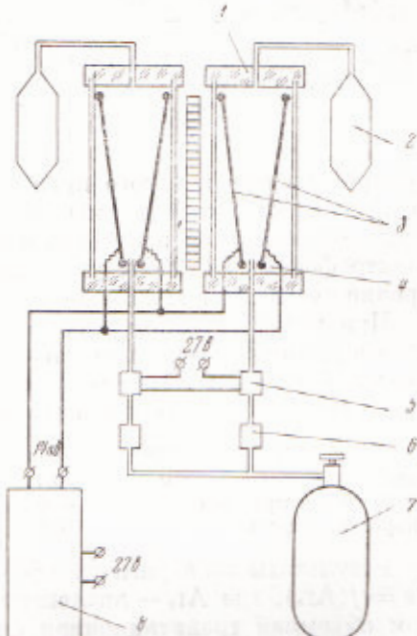


Рис. 1. Схема экспериментальной установки

Влияние краевых эффектов, обусловленных органическими размерами электродов, вызывало вытеснение пузырей в краевые области конденсатора, где наблюдались случайные движения, имеющие слабо выраженный циркуляционный характер. В силу этого наиболее достоверные результаты получались в первые 10—15 сек экспериментов.

В отсутствие электрического поля скорость движения газовых включений была незначительной по величине и случайной по направлению. При наложении электрического поля происходило существенное возрастание скорости направленного движения включения ($Re = 10 - 150$). Наблюдались явления деформации газовых включений в направлении электрических силовых линий и деление пузырей больших размеров на два меньших пузыря, более устойчивых по форме. Устойчивые пузыри объединялись в гирлянды, вытянутые вдоль силовых линий поля. При включении поля уменьшался максимальный размер газовых включений, подаваемых капиллярным дозатором, находящимся в области электрического поля, что можно объяснить появлением «архимедовой силы» за счет электрической перегрузки. Интересно поведение пузырьков, прилипших к электродам в отсутствие поля. Они удерживались у металлических электродов капиллярными силами или, при наличии поверхностного заряда, силами «электрического изображения». После подачи напряжения

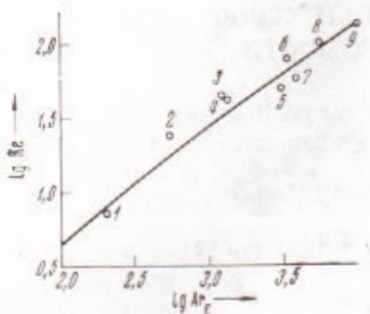


Рис. 2. Зависимость числа Re от диэлектрофоретического аналога числа Ar

пузырек из сферического превращался в эллипсоидальный, затем из-за неустойчивости этой формы пузырек восстанавливал свою сфероидальность, отрывался от электрода и начинал двигаться под действием сил диэлектрофореза в сторону уменьшения напряженности поля так же, как и прочие пузырьки и гирлянды.

При количественной обработке результатов экспериментов рассматривалось движение отдельно расположенных газовых включений, имеющих форму, близкую к сферической. Параметры движения различных по размерам газовых включений оказались следующими:

Номер газового включения	1	2	3	4	5	6	7	8	9
Радиус-вектор точки, мм	323	282	327	304	375	365	355	351	320
Диаметр пузыря, мм	4,0	4,7	7,5	7,3	11,3	11,5	11,5	13,0	15,0
Скорость, мм/сек	5,0	9,0	10,0	10,0	8,0	12,0	9,0	13,5	16,6

Результаты эксперимента обобщены в виде критериальной зависимости $Re = f(Ar_e)$, где Ar_e — диэлектрический аналог числа Архимеда, в котором объемная гравитационная сила заменена силой диэлектрофореза по формуле (1). Для клиновидного конденсатора с учетом (2) имеем

$$Ar_e = \frac{3(\varepsilon - 1)\varepsilon\varepsilon_0}{2\varepsilon + 1} \left(\frac{d}{r} \right)^3 \frac{\Phi_0^2}{\theta_0^2 v^2 \rho}, \quad (3)$$

где d — диаметр пузыря, v — кинематическая вязкость жидкости, ρ — плотность жидкости. Полученная зависимость приведена на рис. 2 в виде точек, соответствующих газовым включениям (1—9). Здесь же сплошной линией изображена зависимость числа Рейнольдса от числа Архимеда, соответствующая интерполяционной формуле (2)

$$Re = Ar / (18 + 0,61\sqrt{Ar}), \quad (4)$$

полученной при изучении свободного падения шаров в вязкой жидкости. Характер зависимости подтверждает возможность использования прибли-

женного выражения (1) для расчета сил диэлектрофореза и правильность выбора аналога критерия Архимеда. Расчет согласно приведенным данным подтверждает практическую возможность создания действующих на жидкость диэлектрофоретических перегрузок величиной 10^{-2} — 10^{-4} .

Авторы благодарят Р. К. Калнина, Б. А. Иоффе и Б. Л. Жейтура за участие в эксперименте.

Поступило
20 I 1971

ЦИТИРОВАННАЯ ЛИТЕРАТУРА

¹ Дж. А. Страттон, Теория электромагнетизма, М., 1948. ² Р. Б. Розенбаум, О. М. Тодес, ДАН, 115, № 3, 504 (1957).